

駕莫灣의 海水交換

李 明 哲·張 善 德*

麗水水產專門大學, *釜山水產大學海洋工學科

TIDAL EXCHANGE OF SEA WATER IN GAMAG BAY

*Myeong-Cheol Lee and Sun-duck Chang**

Dept. of Fishing Technol., Yeosu Junior Fisheries College

*Dept. of Ocean Eng., National Fisheries Univ. of Busan

ABSTRACT

Tidal exchanges of sea water are studied by using drogue experiments and tidal current measurement data in Gamag Bay which has two channels. At the spring tide, the volume of tidal transport in the bay was estimated to be 46~52% of the total volume of sea water in Gamag Bay, $7.1 \times 10^8 \text{m}^3$. The tidal transport through the wide channel occupies 87% of the total tidal transport of the bay. Residual current was deduced to flow north-northeastward at the rate of $3.254 \times 10^6 \text{m}^3$ per tidal cycle.

The tidal exchange of the sea water during the flood flow was estimated to be approximately 26% of the tidal transport, while that during the ebb flow was 41%. The tidal exchange through the wide channel during the flood flow occupies 77% of total tidal exchange of the bay through both channels, whereas that during the ebb flow does 88%. The diffusion coefficient of $2.08 \sim 2.30 \times 10^7 \text{cm}^2/\text{sec}$ at the narrow channel was greater than that at the wide channel which was $1.2 \sim 2.8 \times 10^6 \text{cm}^2/\text{sec}$.

序 言

麗水半島의 南端과 突山島에 依해 둘러싸인 駕莫灣은 面積 112km^2 , 容積 $7.09 \times 10^8 \text{m}^3$, 南北方向의 길이 約 15km, 平均水深 約 6.3m인 淺海이다. 大潮差는 約 3m이며 湾內海水는 潮流에 依하여 2個의 水路를 通해 外海水와 交流·交換된다. 밀물때 湾의 北쪽에 있는 麗水港水路와 南쪽의 湾口를 通하여 서로 다른 方向으로 流入된 海水는 湾內에서 만나고, 썰물때 다시 이들 湾口를 通하여 流出한다.

이 海域은 麗水港에隣接한 곳 主產地로서 生産性이 매우 높은 곳이며 都市 및 產業廢水가 날로 늘어날 것으로豫想되는 곳이다.

內海나 內灣에서의 生物의 生產과 環境污染은 物質의 動盪과 關係가 깊은 海水交換能力에 依하여 크게 달라지며(宇野木, 1980), 潮流가 탁월한 淺海域에서는 潮流의 往復運動에 依한 海水의 移動과 交換의 程度가 魚卵, 稚子 或은 物質의 輸送과 分布에 큰 影響을 미친다.

海水交換強度는 Parker et al. (1972), 川村等 (1975), 柏井(1977)가 湾口斷面 觀測資料에 依하여 推定하였으며, 中田·平野(1976)는 測流板追跡方法에 依하여, 宇野木·岸野(1977)는 海洋要素分布로 부터 推定한 바 있다. 이러한 海水交換은 海灣의 地形條件과 外部條件에 依하여 크게 달라진다(宇野木, 1978).

本研究에서는 2個의 湾口를 갖는 駕莫灣에서 實施한 測流板實驗 및 流速計에 依한 測流資料

를 사용하여 潛口別 海水交換量을 推定·比較함으로써 內灣의 海水交換特性을 밝히고자 한다.

資料 및 方法

1. 觀測方法

駕莫灣의 流動構造 및 海水交流·交換의 程度를 알기 위하여 1981年 5月 25日부터 6月 5日까지 水專 2號, 水專 3號 및 전마선 2隻을 動員하여 測流板漂流實驗과 流向流速計(MTCM-5B)에 依한 測流를 實施하였다. 駕莫灣의 海底地形 및 觀測點은 Fig. 1과 같다. 모든 觀測은 6個斷面(A~F)中에서 각각 4個點을 定하여 밀물과 썰물의 最強流時로 부터 轉流時까지 實施되었다. 測流板은 3隻의 船舶으로 追跡하였으며, 15~30分 간격으로 sextant에 依해 三標兩角法으로 位置를 求하였다. 同時に 船舶 1隻은 觀測斷面上의 測點을 往來하면서 停船測流를 2~3時間동안 계속하였고, 測流水深은 0, 2, 5, 8, 10m였다. 測流板은 水面下 1m에서漂流되도록 調整하였다. 抵抗板의 크기는 Table 1과 같다. 空氣 및 水中の 抵抗係數(Myers等, 1969)를 C_a, C_w , 密度를 각각 ρ_a, ρ_w , 投影面積을 A_a, A_w , 風速 및 流速을 각각 V_a, V_w , 測流板의 空氣抵抗 및 水中抵抗을 R_a, R_w 라 하면 水中과 空氣中の抵抗比는

$$\frac{R_a}{R_w} = \frac{C_a \rho_a A_a V_a^2}{C_w \rho_w A_w V_w^2} \quad (1)$$

이다. 여기에 觀測期間中 最高風速 3.7m/sec와 平均流速 25cm/sec를 代入한 結果 $R_a/R_w \approx 1/210$ 임으로 測流板에 미치는 空氣中の抵抗은 無視하였다.

Table 1. Specifications of the current drogues

Item	Specifications
Resistance board	Two rectangular canvas, 50cm \times 50cm, perpendicularly fixed
Buoy	A plastic buoy, 10cm in diameter
Rope	Synthetic fiber, 1m
Pole	A 1-m bamboo pole with a red flag

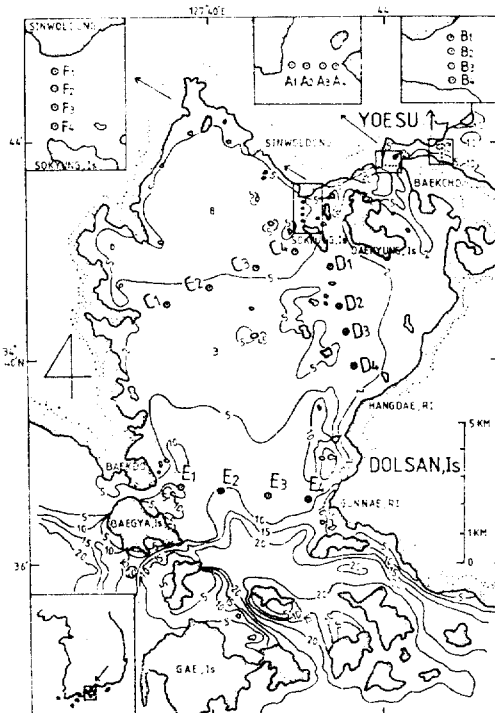


Fig. 1. Bathymetry and oceanographic stations of Gamag Bay.

2. 海水交換率의 推定方法

海水交換率은 海水의 保存的性質의 分布量 또는 收支로 부터 求하기가 困難하므로, 海水의 流量과 그 流動範圍로 부터 推定했다(中田·平野, 1976).

半潮汐週期동안에 대상水域에 流入한 物質量 q 에 對한 交換量 Δq 의 比率을 交換率 γ 라 하면,

$$\gamma = \Delta q/q \quad (2)$$

이다. 여기서 半潮汐週期 동안의 測流板의 潛口斷面通過 移動範圍에 해당하는 容積을 混合容積 V_0 , 이 期間에 通過한 流量을 Q 라 할 때, Q 의 海水는 混合容積內에서 잘 섞였다고 가정한다.

이때 流入한 物質의 平均濃度를 C_0 , 混合容積 内에서 均一하게 섞인뒤에 되돌아 나가는 海水의 平均濃度를 C_1 이라고 하면,

$$q = C_0 Q \quad (3)$$

$$\Delta q = C_0 Q - C_1 Q \quad (4)$$

이다. 가정에서 $C_0 Q = C_1 V_0$ 이므로.

$$\begin{aligned}\gamma &= \frac{C_0 Q - C_1 Q}{C_0 Q} \\ &= 1 - \frac{Q}{V_0} \\ &= \frac{V_0 - Q}{V_0}\end{aligned}\quad (5)$$

로 나타낼 수 있다. 여기서 斷面通過流量 Q 는 森北(1966)의 式을 利用하여 計算하였다.

순간 流量 Q_t 는,

$$Q_t = B \{0.174(q_{0.07} + q_{0.93}) + 0.326(q_{0.33} + q_{0.67})\} \quad (6)$$

但, B : 潟口의 幅, q_i : 垂直平均流速 × 水深
 i : 潟口幅과 觀測點과의 거리比

半潮汐週期間의 流量 Q 는,

$$Q = \int_0^{T/2} Q_t dt \quad (7)$$

이다. 또한 混合容積 V_0 는 편의상 潟口斷面에서 最強流時로 부터 轉流時까지 測流板을 追跡하여 그 流動範圍의 容積(觀測容積) V'_0 를 求한 뒤, 아래와 같이 計算하였다.

$$\begin{aligned}V_0 &= a V'_0 \\ &= \frac{Q}{Q'} V'_0\end{aligned}\quad (8)$$

여기서 a 는 流量比이며, Q' 는 觀測期間內의 通過流量이다.

結果 및 考察

1. 海水 流動

5月 25日부터 6月 5日까지 밀물과 썰물의 最強流時로 부터 轉流時까지 A~F의 6個斷面에서 實施한 測流板追跡結果는 Fig. 2와 같다. 밀물 때 北쪽 斷面 A(麗水港等)의 最強流速은 約 3.5m/s로 流入하여, 南쪽 斷面 E(군내리와 백도)에서 1.5m/s 정도로 北流하는主流 西쪽이 東쪽보다 빠른 흐름을 보이고 內灣 깊숙히 流入해 간다. 이때 流速은 潟의 北東쪽으로 갈수록 減少하는 傾向을 보이며, 소경도와 대경도 부근에서는 각기 다른 方向에서 流入한 海水가 서로 만나 매우 복잡한 涡流를 形成한다. 군내리 부근에서는 逆流가 나타나는데 이것은 局地의 右旋過動현상에 因起되는 것 같다. 썰물때는 다시 각各 流入한

潾口로 되돌아 가는 傾向을 보이며, 소경도와 대경도 부근에서는 계속 涡流가 나타난다. 이러한 涡流는 潟의 海岸 및 海底地形과 關聯이 있는 것으로 생각된다.

2. 海水交流量

斷面 A 및 E에서의 潮流調和分解資料(金, 1968) 및 麗水海灣 潮流豫報值(潮汐表)로 부터 推算한 觀測日의 潮流曲線과 麗水檢潮所에서 實測한 潮汐曲線은 Fig. 3과 같다. 또 斷面 E에서 6月 3日 밀물과 썰물의 最強流時로 부터 轉流時까지 測流한 結果는 Fig. 4와 같다. 여기서 6月 3日 斷面 E의 潮流推算值와 各觀測點의 鉛直平均流速實測值를 比較한 結果(Fig. 5),兩者는 거의一致하였다. 그러나 間接觀測이 이뤄지지 않은 部分은 이들을 比較하여 Fig. 5와 같이 斷面直角平均流速을 推定한 뒤 斷面 E의 通過流量 Q_E 를 求하였다.

斷面 A의 通過流量 Q_A 는, 式 (9)로 計算하였다.

$$Q_A = \Delta H \cdot \Sigma - Q_E \quad (9)$$

但, ΔH : 潮差, Σ : 潟의 面積

이 結果는 Table 2와 같다.

6月 3日 午後의 流量은 潮差比를 利用하여 推定한 것이다. 두 個의 潟口를 通해 潟內로 流入하는 全體海水量은 駕茅灣의 平均海水容積($7.1 \times 10^8 m^3$)에 對하여 46%(潮差 290cm), 全體流出量은 52%(潮差 326cm)나 된다.

이 差는 主로 日潮不等에 起因하는 것으로서 潮差를 同一하게 取할 경우에는 거의 같아질 것이다. 潟口別로 살펴보면 斷面積이 20倍나 큰 斷面 E가 썰물때에 全交流量의 86.7%, 밀물때 86.8%였고, 斷面 A는 썰물때 13.3%, 밀물때 13.2%로서, 潟內의 海水交流는 主로 斷面 E를 通하여 이루어지고 있다. 또한 兩斷面의 流入量과 流出量을 比較하면 斷面 E는 流入量이 約 0.1% 多은 데 比하여 斷面 A는 이와 反對로 流出量이 多다.

따라서 斷面 E로 부터 斷面 A 方向으로 흐르는 恒流가 存在함을 알 수 있다. 斷面 A에 直角方向으로 流出하는 斷面平均恒流速 v 는 斷面積

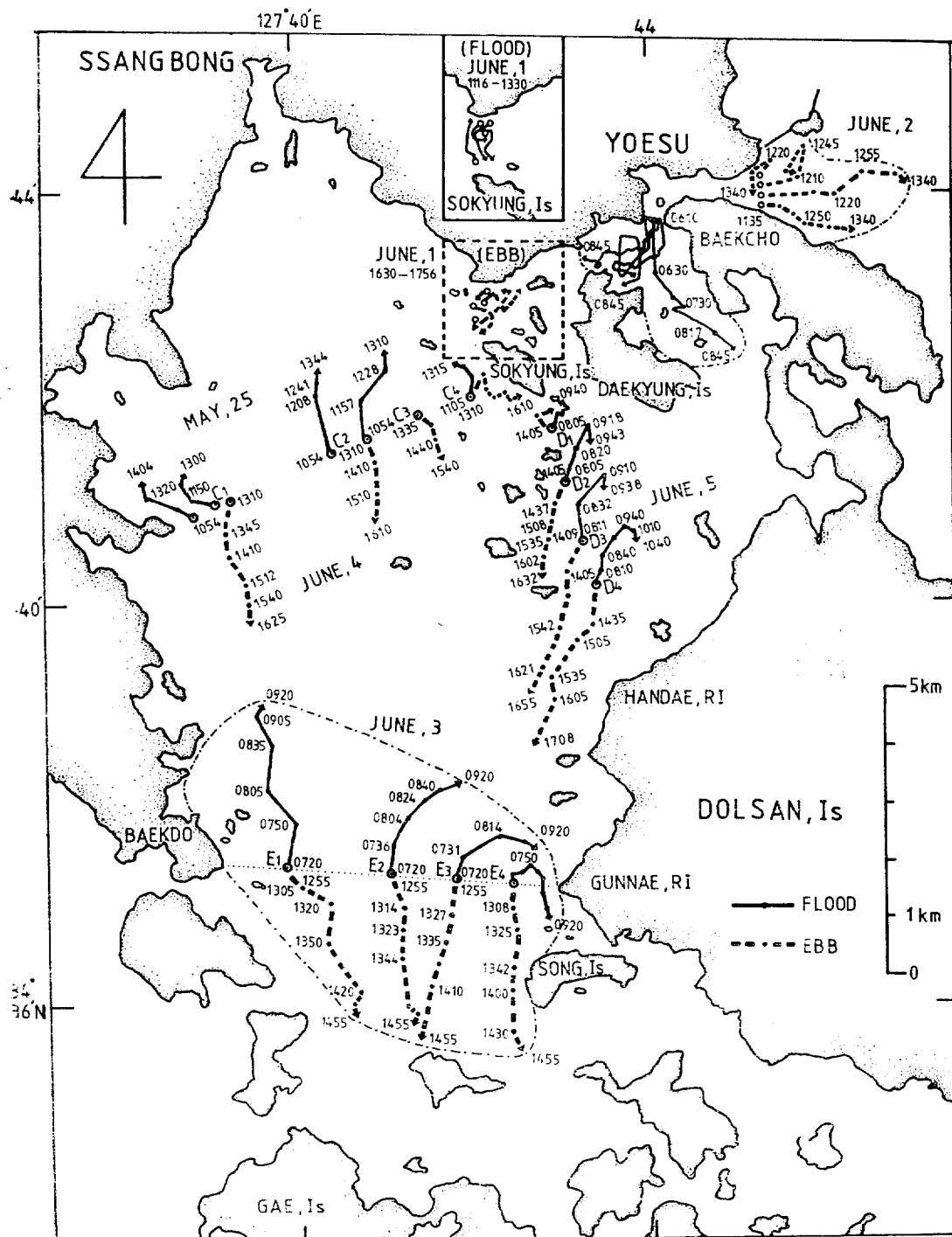


Fig. 2. Results of drogue experiments from May 25 through June 5, 1981. Solid lines denote tracks of drogues drifted during flood flow, while dotted lines those during ebb flow. Thin dotted lines denote tidal mixing area deduced from drogue experiments carried out at both channels in Gamag Bay.

$A=2,860\text{m}^2$ 와 1潮汐週期 동안의 流入, 流出量의
差 $\Delta Q=32.54\times 10^6\text{m}^3$ 및 潮汐週期 T 로 부터

$$v = \frac{\Delta Q}{AT} = 0.25\text{cm/sec}$$

이다. 이 값은 斷面A 부근에서의 恒流 0.12 놋
트(수로국 해양파, 1977)에 比해 적으나 容量이
적은 本水域에서는 취송류, 조석잔차류, 淡水流
入等의 영향이 있어서 季節에 따라 변할 것으로
생각된다.

3. 海水交換特性

測流板의 移動範圍와 斷面通過流量으로 부터
推定한 海水交換率 및 交換量은 Table 3과 같다.

여기서 斷面A의 混合容積은 편의상 潮差比를
써서 斷面B의 觀測容積(Fig. 2)을 6月 3일의 値
으로 補正한 뒤, 流量比 a 를 곱하여 求하였다.
海水交換率은 斷面E가 셀물때 0.41로서 밀물때
의 0.22에 比하여 훨씬 크게 나타났으나, 斷面
A에서는 이와 反對로 밀물때 0.43으로서 셀물
때의 0.37보다 큰 편이다.

이것은 兩水域의 海水混合過程이 다름을 나타낸다.

物質輸送에 寄與한다고 생각되는 溝全體의 海

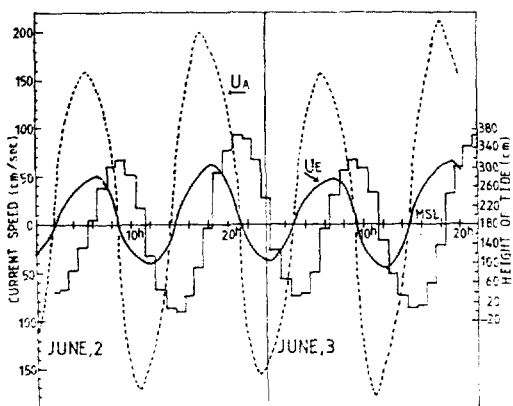


Fig. 3. Tidal heights referred to the mean sea level at Yoesu and the deduced tidal current speed at the cross sections A and E on June 2~3, 1981. Dotted line U_A denotes tidal current speed at the narrow section A, while solid line U_E that at the wide section E.

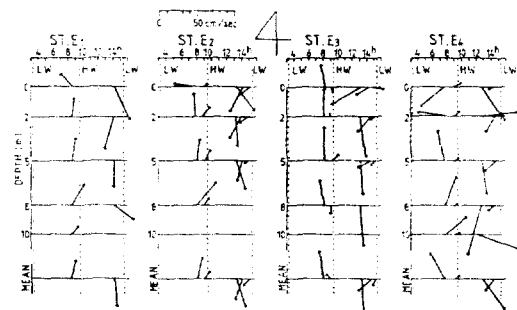


Fig. 4. Current vectors at section E in Gamag Bay. Moon's age was 1 and Moon's dec. was N 20°25'.5.

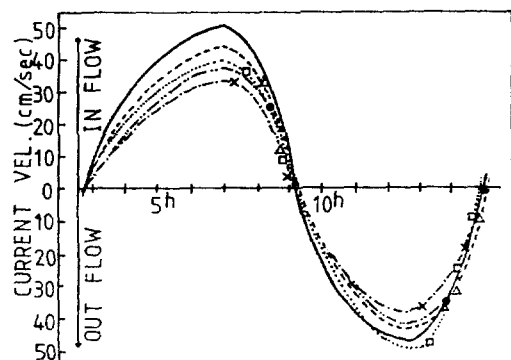
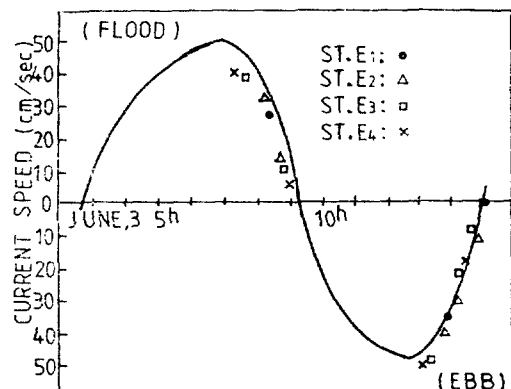


Fig. 5. Comparison of the predicted flow speed (solid line) and the observed tidal current (dotted line) at cross section E on June 3, 1981. Upper figure denotes vertically-averaged current velocity, while the lower one the component of the velocity normal to the cross section E.

Table 2. Volume of tidal transport and tidal range at two cross sections in Gamag Bay on June 3, 1981

Cross section	Width (m)	Area of cross section ($\times 10^3 \text{m}^2$)	tidal	Volume of transport		Mean speed of tidal current (cm/sec)	Tidal range (cm)
				($\times 10^8 \text{m}^3$)	%		
E	5,820	56.47	flood(A.M.)	2.826	86.8	22	290
			ebb	3.173	86.7	28	326
			flood(P.M.)	3.800	86.8		390
A	370	2.86	flood(A.M.)	0.428	13.2	65	290
			ebb	0.485	13.3	84	326
			flood(P.M.)	0.580	13.2		390
Total			flood(P.M.)	3.254	100.0		290
			ebb	3.658	100.0		326
			flood(P.M.)	4.380	100.0		390

水交換量은 셀물때에 全體의 海水交流量의 41%, 밀물때에 26%였다.

그 중 斷面 E는 湾全體交換量中 88%(셀물때)와 77%(밀물때)를 차지하여, 上記海域의 物質輸送과 分布에 큰 영향을 미친다고 생각된다. 이것은 2個의 湾口를 通해 湾內로流入·流出하는 海水가 소경도와 대경도에서 만나는 것으로 보아(Fig. 2) 斷面 E를 通過하는 海水交流量 및 交換量이 매우 크다는 것을 알 수 있다. 즉 湾口가 좁은 곳은 流速이 빠르기는 하나 斷面積이 작으므로 海水交換·交流量은 斷面積이 큰 湾口에 比해 적다. 그러나 單位斷面積當交換量 즉

交換能率을 比較하면, 斷面積 E는 斷面積 A에 比하여 20倍나 큰 規模이면서도 交換能率은 斷面 A가 斷面 E보다 밀물때에 5.8倍, 셀물때에는 2.7倍나 크게 나타났다. 이것은 湾內의 物質分散에 큰 効果를 나타내게 될 것으로 생각된다.

4. 水平擴散係數

一般的으로 潮流에 依한 海水의 混合은 潮汐 scale의 涡動擴散効果로 생각된다. 潮流의 平均流速을 \bar{v} , 最大移動距離를 L 이라 할 때, 水平擴散係數 K 는(川村, 1975),

Table 3. Estimated volume of tidal transport and tidal exchange of sea water during a semi-tidal period in Gamag Bay on June 3, 1981

Cross section	V_0 ($\times 10^8 \text{m}^3$)	Q ($\times 10^8 \text{m}^3$)	r	Q_r		Q_r/A ($\times 10^3 \text{m}^3$)
				volume ($\times 10^8 \text{m}^3$)	%	
E	flood	4.065	3.173	0.22	0.622	77.2
	ebb	6.448	3.800	0.41	1.301	87.9
A	flood	0.850	0.485	0.43	0.184	22.8
	ebb	0.914	0.580	0.37	0.179	12.1
Total	flood	4.915	3.658	0.26	0.806	100.0
	ebb	7.362	4.380	0.41	1.480	100.0

V_0 : Volume of tidal mixing area

Q : Volume of tidal transport

r : Rate of tidal exchange

Q_r : Volume of tidal exchange

Q_r/A : Volume of tidal exchange per unit cross section area

Table 4. Estimated value of horizontal diffusion coefficient in Gamag Bay on June 3, 1981

Cross section	Tidal period	K ($\times 10^7 \text{cm}^2/\text{sec}$)
E	flood	0.12
	ebb	0.28
A	flood	2.08
	ebb	2.30

$$K = \frac{1}{2} \gamma \bar{v} L \quad (10)$$

이다. 이것은 斷面積을 A , 交流量을 Q , 半潮汐週期를 T 라 하면,

$$K = \gamma Q^2 / 2 A^2 T \quad (11)$$

로 나타내어진다(中田・平野, 1976). 式 (11)에 依하여 斷面 A 및 E의 水平擴散係數를 求한 것이 Table 4인데 斷面 A는 $2.08 \sim 2.30 \times 10^7 \text{cm}^2/\text{sec}$ 로서 斷面 E의 $1.2 \sim 2.8 \times 10^6 \text{cm}^2/\text{sec}$ 에 比해 한 order 크게 나타났다.

이것은 斷面 E를 通한 交換能率이 斷面 A보다 約 2.7~5.8倍 크게 나타난 事實과 아주 좋은 대응관계를 보인다. 한편 斷面 A 및 E의 擴散係數값은 큰 差를 보였는데 이것은 交換量의大小에 따라 左右되는 것이 아니라 斷面 A 부근의 복잡한 海岸, 海底地形, 빠른 流速과 그 shear 等 여러가지 要因에 따라 다르게 나타나는 것으로 생각된다. 瀕口를 通한 海水의 交換特性을 명백히 하기 为해서는 交換率 및 交換量 뿐만 아니라 交換能率도 함께 고려하는 것이 좋다고 생각된다.

以上에서 駕莫灣의 兩瀕口를 通한 海水交換 및 交換量이 서로 다르다는 것을 알 수 있었으나, 이 海域은 容量이 적으므로 季節的變動이 를 것으로 보아진다. 따라서 今後 海水流動의 季節的變動에 對하여 詳細하게 검토할 必要가 있다고 생각된다.

要 約

2個의 瀕口를 갖는 駕莫灣에서 1981年 5月 25日부터 6月 5日까지 實施한 測流板追跡 및 測流

資料를 使用하여 兩瀕口別 海水交換 및 交換量을 檢討하였다.

駕莫灣의 容積 $7.1 \times 10^8 \text{m}^3$ 에 對하여 瀕內로流入하는 量은 46%(潮差 290cm)였다. 斷面積이 20倍나 큰 瀕口의 海水交換量은 約 87%로서大部分을 차지하며, 恒流成分은 큰 瀕口로 부터 작은 瀕口쪽으로 流出量은 $3.254 \times 10^5 \text{m}^3$ 였다.

灣의 海水交換量은 밀물때 全交換量의 26%, 썰물때 41%였다. 큰 瀕口의 交換量은 全交換量의 77~88%로서 瀕의 物質輸送과 分布를 거의支配하는 것으로 보아진다.

水平擴散係數는 작은 瀕口에서 $2.08 \sim 2.30 \times 10^7 \text{cm}^2/\text{sec}$, 큰 瀕口에서는 $1.2 \sim 2.8 \times 10^6 \text{cm}^2/\text{sec}$ 였다.

瀕口의 海水交換特性을 알기 위해서는 交換率 및 交換量뿐만 아니라 交換能率도 함께 고려하는 것이 좋다고 생각된다.

参考文献

- 柏井誠, 1977. 潮汐による海水交換について, その 1; 海水交換の概念と海水交換率. 日本海洋學會春季大會講演要旨集, 96~97.
- 川村雅彦, 清水浩轉, 小山治行, 中嶋秀夫, 前川力, 1975. 豊後水道の海況と擴散係數, 海と空 50 : 43~58.
- 金三文, 1968. 수로기술연보, 157~180.
- 森北常雄, 1966. 水工學便覽, 221~222. 森北出版社, 東京.
- Myers John et al., 1969. Hand Book of Ocean & Under-water Engineering, McGraw-Hill, New York.
- 中田英昭, 平野敏行, 1976. 濱戸水域における海水の交流・交換について, 水產海洋研究會報 29, 7~14.
- Parker, D.S., D.P. Norris and A.W. Nelson, 1972. Tidal exchange at Golden Gate. Proc. ASCE 98: SA2 305~323.
- 水路局 海洋課, 1977. 1977년도 여수항일대 조류관측 결과, 수로기술연보, 91~122.
- 宇野木早苗, 岸野元彰, 1977. 第24回 海岸工學講演會論文集, 486~490.
- 宇野木早苗, 1978. 内灣における海水の交換, 海洋科學 10(10) : 821~830.
- 宇野木早苗, 1980. 海水交換とその素過程について, 沿岸海洋研究 Note 17(2) : 89~98.